

МЕТОД РАСЧЕТА НАПРЯЖЕННО-ДЕФОРМИРОВАННОГО СОСТОЯНИЯ СФЕРИЧЕСКОГО ТЕПЛОЫДЕЛЯЮЩЕГО ЭЛЕМЕНТА ЯДЕРНОГО РЕАКТОРА

Куликов И.С., ¹Глембоцкий А.В.

¹ГНУ «Объединенный институт энергетических и ядерных исследований – Сосны» НАНБ, Минск

Развитие атомной энергетики на нынешнем этапе ее развития предполагает развитие как уже хорошо отработанных технологий действующих реакторов, так и разработку принципиально новых. В данном контексте можно считать достаточно перспективным направлением развития технологию высокотемпературных гелиевых реакторов со сферическими тепловыделяющими элементами (ТВЭЛами).

Первыми уровнями концепции глубокоэшелонированной защиты, которая лежит в основе всех современных технологий безопасности АЭС, являются уровни топливного сердечника (керна) и оболочка ТВЭЛ, которые составляют главную часть тепловыделяющего элемента. Однако, вопросы прочности и надежности сферических тепловыделяющих элементов по сравнению с цилиндрическими элементами исследованы недостаточно. В данной статье предлагается трехмерная математическая модель сферического тепловыделяющего элемента с учетом деформаций термического расширения, радиационного распухания, ползучести, а также, мгновенной пластической деформации.

Для вывода системы уравнений в сферических координатах запишем систему уравнений описывающие напряжено-деформированное состояние тела в декартовой системе (x_1, x_2, x_3) координат.

Данная система уравнений включает в себя:

1. уравнение равновесия;
2. соотношения Коши;
3. граничные условия
4. физические уравнения.

Соответственно имеем:

$$\frac{\partial \sigma_{ij}}{\partial x_j} + F_i = \rho \frac{\partial^2 u_i}{\partial t^2} \quad (1)$$

$$\varepsilon_{ij} = \frac{1}{2} \left(\frac{\partial u_i}{\partial x_j} + \frac{\partial u_j}{\partial x_i} \right) \quad (2)$$

$$\sigma_{ij} l_j = P_i \quad (3)$$

$$\varepsilon_{ij} = \frac{1}{E} \left[(1 + \nu) \sigma_{ij} - 3\nu \delta_{ij} \sigma \right] + \varepsilon_{ij}^{(n)} \quad (4)$$

где $i, j = 1, 2, 3$, F_i – объемные силы, ρ – плотность материала, в общем случае зависящая от температуры и облучения, P_i – поверхностные силы, σ_{ij} – компоненты тензора напряжений, ε_{ij} – компоненты тензора деформаций, u_i – перемещения, $\varepsilon_{ij}^{(n)} = \delta_{ij} (\varepsilon_{ij}^{(T)} + \varepsilon_{ij}^{(s)}) + \varepsilon_{ij}^{(p)} + \varepsilon_{ij}^{(c)}$, $\sigma = \frac{1}{3} \sigma_{ii}$, l_j – направляющие косинусы внешней нормали, δ_{ij} – символ Кронекера, E – модуль Юнга, ν – коэффициент Пуассона, $\varepsilon_{ij}^{(T)}$ – деформация термического расширения, $\varepsilon_{ij}^{(c)}$ – деформация ползучести, $\varepsilon_{ij}^{(s)}$ – деформация радиационного распухания, $\varepsilon_{ij}^{(p)}$ – мгновенная пластическая деформация, t – время [1].

Выразив из физических уравнений (4) напряжения через деформации и используя связь перемещений и деформаций (2), а затем подставив полученные выражения в уравнения равновесия (1), получим систему уравнений равновесия в перемещениях, аналогичных уравнениям Ламе в теории упругости:

$$\begin{cases} (\lambda + \mu) \frac{\partial \Theta}{\partial x_1} + \mu \nabla^2 u_1 - \lambda \frac{\partial \Theta^{(n)}}{\partial x_1} - 2\mu \left(\frac{\partial \varepsilon_{11}^{(n)}}{\partial x_1} + \frac{\partial \varepsilon_{12}^{(n)}}{\partial x_2} + \frac{\partial \varepsilon_{13}^{(n)}}{\partial x_3} \right) + F_1 = \rho \frac{\partial^2 u_1}{\partial t^2} \\ (\lambda + \mu) \frac{\partial \Theta}{\partial x_2} + \mu \nabla^2 u_2 - \lambda \frac{\partial \Theta^{(n)}}{\partial x_2} - 2\mu \left(\frac{\partial \varepsilon_{12}^{(n)}}{\partial x_1} + \frac{\partial \varepsilon_{22}^{(n)}}{\partial x_2} + \frac{\partial \varepsilon_{23}^{(n)}}{\partial x_3} \right) + F_2 = \rho \frac{\partial^2 u_2}{\partial t^2} \\ (\lambda + \mu) \frac{\partial \Theta}{\partial x_3} + \mu \nabla^2 u_3 - \lambda \frac{\partial \Theta^{(n)}}{\partial x_3} - 2\mu \left(\frac{\partial \varepsilon_{13}^{(n)}}{\partial x_1} + \frac{\partial \varepsilon_{23}^{(n)}}{\partial x_2} + \frac{\partial \varepsilon_{33}^{(n)}}{\partial x_3} \right) + F_3 = \rho \frac{\partial^2 u_3}{\partial t^2} \end{cases} \quad (5)$$

где $\nabla^2 = \frac{\partial^2}{\partial x_1^2} + \frac{\partial^2}{\partial x_2^2} + \frac{\partial^2}{\partial x_3^2}$, $\lambda = \frac{\nu E}{(1 + \nu)(1 - 2\nu)}$, $\mu = \frac{E}{2(1 + \nu)}$, $\Theta = \varepsilon_{11} + \varepsilon_{22} + \varepsilon_{33}$,

$$\Theta^{(n)} = \varepsilon_{11}^{(n)} + \varepsilon_{22}^{(n)} + \varepsilon_{33}^{(n)}.$$

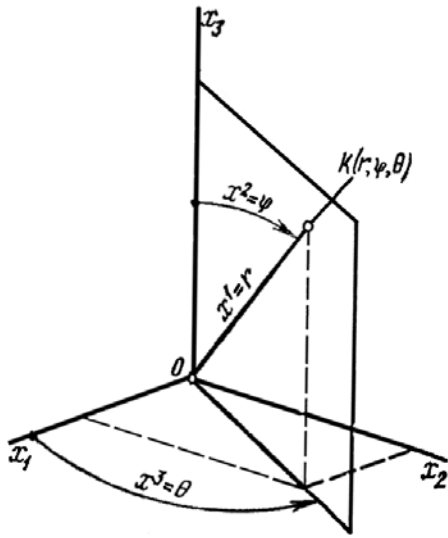


Рисунок 1.— Сферическая система координат

Общий вид уравнений схож с хорошо известными уравнениями Ламе, однако главное отличительной особенностью полученных уравнений является учет дополнительных обратимых и необратимых деформация, которые возникают в результате воздействия температуры и нейтронного облучения.

Для перехода от декартовой системы координат к сферической, используем тензорное преобразования, где соотношение между двумя базисами декартовой системы координат (x_1, x_2, x_3) и сферической (x^1, x^2, x^3) представлено на рисунке 1. Запишем дифференциальные операторы в криволинейных координатах.

$$\frac{\partial \Phi}{\partial x_i} = \frac{1}{H_i} \frac{\partial \Phi}{\partial x^i} \quad (6)$$

где H_i — коэффициенты Ламе, которые для сферической системы координат имеют вид $(H_1 = 1, H_2 = r, H_3 = r \sin(\varphi))$, Φ — скалярная функция.

Оператор Лапласа, как известно, в сферической системе координат можно записать

$$\Delta = \nabla^2 = \frac{1}{r} \frac{\partial}{\partial r} r^2 \frac{\partial}{\partial r} + \frac{1}{r^2 \sin(\varphi)} \frac{\partial}{\partial \varphi} \sin(\varphi) \frac{\partial}{\partial \varphi} + \frac{1}{r^2 \sin^2(\varphi)} \frac{\partial^2}{\partial \theta^2}. \quad (7)$$

Однако для определения проекции вектора $\Delta \vec{A}$ на оси криволинейной системы координат необходимо использовать выражение, которое является инвариантом [2]:

$$\Delta \vec{A} = \text{grad} \cdot \text{div} \vec{A} - \text{rot} \cdot \text{rot} \vec{A} \quad (8)$$

Указанные в выражении (8) операторы в сферической системе координат имеют вид

$$\text{div} \vec{A} = \frac{1}{r^2} \frac{\partial}{\partial r} (r^2 A_r) + \frac{1}{r \sin(\varphi)} \frac{\partial}{\partial \varphi} (A_\varphi \sin(\varphi)) + \frac{1}{r \sin(\varphi)} \frac{\partial A_\theta}{\partial \theta} \quad (9)$$

$$\text{rot}_r \vec{A} = \frac{1}{r \sin(\varphi)} \left(\frac{\partial}{\partial \varphi} (A_\theta \sin(\varphi)) - \frac{\partial A_\varphi}{\partial \theta} \right) \quad (10)$$

$$\text{rot}_\varphi \vec{A} = \frac{1}{r \sin(\varphi)} \frac{\partial A_r}{\partial \theta} - \frac{1}{r} \frac{\partial}{\partial r} (A_\theta r) \quad (11)$$

$$\text{rot}_\theta \vec{A} = \frac{1}{r} \left(\frac{\partial}{\partial r} (A_\varphi r) - \frac{\partial A_r}{\partial \varphi} \right) \quad (12)$$

Соответственно получаем выражения для проекции на оси координат:

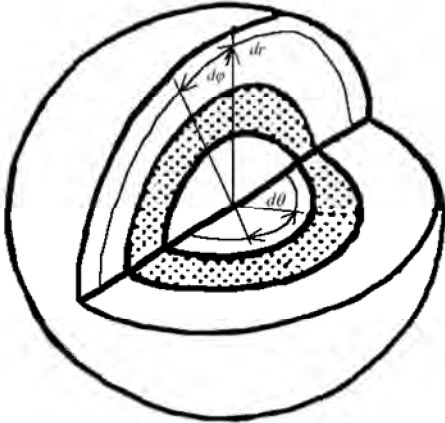
$$\left(\Delta\vec{A}\right)_r = \Delta A_r - \frac{2}{r^2} A_r - \frac{2}{r^2} \left(\frac{\partial A_\varphi}{\partial \varphi} + A_\varphi \operatorname{ctg}(\varphi) \right) - \frac{2}{r^2 \sin(\varphi)} \frac{\partial A_\theta}{\partial \theta} \quad (13)$$

$$\left(\Delta\vec{A}\right)_\varphi = \Delta A_\varphi + \frac{2}{r^2} \frac{\partial A_r}{\partial \varphi} - \frac{A_\varphi}{r^2 \sin^2(\varphi)} - \frac{2 \cos(\varphi)}{r^2 \sin(\varphi)} \frac{\partial A_\theta}{\partial \theta} \quad (14)$$

$$\left(\Delta\vec{A}\right)_\theta = \Delta A_\theta - \frac{A_\theta}{r^2 \sin^2(\varphi)} + \frac{2}{r^2 \sin(\varphi)} \frac{\partial A_r}{\partial \varphi} + \frac{2 \cos(\varphi)}{r^2 \sin^2(\varphi)} \frac{\partial A_\varphi}{\partial \theta} \quad (15)$$

Используя записанные соотношения, получаем систему уравнений равновесия в перемещениях с учетом неупругих деформаций (термического расширения, радиационного распухания, пластичности и ползучести) в сферической системе координат.

$$\left\{ \begin{array}{l} (\lambda + \mu) \frac{\partial \Theta}{\partial r} + \mu \left(\nabla^2 u_r + \frac{2}{r} \frac{\partial u_r}{\partial r} + \frac{2u_r}{r^2} - \frac{2}{r} \Theta \right) - \lambda \frac{\partial \Theta^{(n)}}{\partial r} - 2\mu \left(\frac{\partial \varepsilon_{rr}^{(n)}}{\partial r} + \frac{\partial \varepsilon_{r\varphi}^{(n)}}{\partial \varphi} + \frac{\partial \varepsilon_{r\theta}^{(n)}}{\partial \theta} \right) + F_r = \rho \frac{\partial^2 u_r}{\partial t^2} \\ (\lambda + \mu) \frac{\partial \Theta}{\partial \varphi} + \mu \left(\nabla^2 u_\varphi - \frac{u_\varphi}{r^2 \sin^2(\varphi)} + \frac{2}{r^2} \frac{\partial u_r}{\partial \varphi} - \frac{2 \cos(\varphi)}{r^2 \sin^2(\varphi)} \frac{\partial u_\theta}{\partial \theta} \right) - \lambda \frac{\partial \Theta^{(n)}}{\partial \varphi} \\ - 2\mu \left(\frac{\partial \varepsilon_{r\varphi}^{(n)}}{\partial r} + \frac{\partial \varepsilon_{\varphi\varphi}^{(n)}}{\partial \varphi} + \frac{\partial \varepsilon_{\varphi\theta}^{(n)}}{\partial \theta} \right) + F_\varphi = \rho \frac{\partial^2 u_\varphi}{\partial t^2} \\ (\lambda + \mu) \frac{\partial \Theta}{\partial \theta} + \mu \left(\nabla^2 u_\theta - \frac{u_\theta}{r^2 \sin^2(\varphi)} + \frac{2}{r^2 \sin(\varphi)} \frac{\partial u_r}{\partial \varphi} + \frac{2 \cos(\varphi)}{r^2 \sin^2(\varphi)} \frac{\partial u_\varphi}{\partial \theta} \right) - \lambda \frac{\partial \Theta^{(n)}}{\partial \theta} \\ - 2\mu \left(\frac{\partial \varepsilon_{r\theta}^{(n)}}{\partial r} + \frac{\partial \varepsilon_{\varphi\theta}^{(n)}}{\partial \varphi} + \frac{\partial \varepsilon_{\theta\theta}^{(n)}}{\partial \theta} \right) + F_\theta = \rho \frac{\partial^2 u_\theta}{\partial t^2} \end{array} \right. \quad (16)$$



1 – внешняя оболочка; 2 – пироуглеродный слой;
3 – топливный ядро,

Рисунок 2. – Расчетная схема сферического ТВЭЛ:

$$\begin{aligned} \text{где } \Theta &= \varepsilon_{rr} + \varepsilon_{\varphi\varphi} + \varepsilon_{\theta\theta} = \frac{\partial u_r}{\partial r} + 2 \frac{u_r}{r} +, \\ &= \frac{1}{r} \frac{\partial u_\varphi}{\partial \varphi} + \frac{u_\varphi}{r} \operatorname{ctg}(\varphi) + \frac{1}{r \sin(\varphi)} \frac{\partial u_\theta}{\partial \theta}, \\ \Theta^{(n)} &= \varepsilon_{rr}^{(n)} + \varepsilon_{\varphi\varphi}^{(n)} + \varepsilon_{\theta\theta}^{(n)}. \end{aligned}$$

Используя полученные выражения, составим трехмерную математическую модель для расчета трехслойного сферического ТВЭЛ. При построении модели сделаем следующие предположения: топливный ядро имеет форму шара и окружен сферически-симметричными покрытиями; материал топлива и оболочек, жестко контактирующих друг с другом (рис. 2).

Для построения расчетной математической модели необходимо записать систему уравнений (16) для трех слоев, обозначенных на рис. 2: внешней оболочки, пироуглеродного слоя и топливного ядра. Соответственно получим:

$$\begin{cases}
(\lambda^{(k)} + \mu^{(k)}) \frac{\partial \Theta^{(k)}}{\partial r} + \mu^{(k)} \left(\nabla^2 u_r^{(k)} + \frac{2}{r} \frac{\partial u_r^{(k)}}{\partial r} + \frac{2u_r^{(k)}}{r^2} - \frac{2}{r} \Theta^{(k)} \right) - \lambda^{(k)} \frac{\partial \Theta^{(kH)}}{\partial r} - 2\mu^{(k)} \left(\frac{\partial \varepsilon_{rr}^{(kH)}}{\partial r} + \frac{\partial \varepsilon_{r\varphi}^{(kH)}}{\partial \varphi} + \frac{\partial \varepsilon_{r\theta}^{(kH)}}{\partial \theta} \right) = 0 \\
(\lambda^{(k)} + \mu^{(k)}) \frac{\partial \Theta^{(k)}}{\partial \varphi} + \mu^{(k)} \left(\nabla^2 u_\varphi^{(k)} - \frac{u_\varphi^{(k)}}{r^2 \sin^2(\varphi)} + \frac{2}{r^2} \frac{\partial u_r^{(k)}}{\partial \varphi} - \frac{2 \cos(\varphi)}{r^2 \sin^2(\varphi)} \frac{\partial u_\theta^{(k)}}{\partial \theta} \right) - \lambda^{(k)} \frac{\partial \Theta^{(kH)}}{\partial \varphi} \\
- 2\mu^{(k)} \left(\frac{\partial \varepsilon_{r\varphi}^{(kH)}}{\partial r} + \frac{\partial \varepsilon_{\varphi\varphi}^{(kH)}}{\partial \varphi} + \frac{\partial \varepsilon_{\varphi\theta}^{(kH)}}{\partial \theta} \right) = 0 \\
(\lambda^{(k)} + \mu^{(k)}) \frac{\partial \Theta^{(k)}}{\partial \theta} + \mu^{(k)} \left(\nabla^2 u_\theta^{(k)} - \frac{u_\theta^{(k)}}{r^2 \sin^2(\varphi)} + \frac{2}{r^2 \sin(\varphi)} \frac{\partial u_r^{(k)}}{\partial \varphi} + \frac{2 \cos(\varphi)}{r^2 \sin^2(\varphi)} \frac{\partial u_\varphi^{(k)}}{\partial \theta} \right) - \lambda^{(k)} \frac{\partial \Theta^{(kH)}}{\partial \theta} \\
- 2\mu^{(k)} \left(\frac{\partial \varepsilon_{r\theta}^{(kH)}}{\partial r} + \frac{\partial \varepsilon_{\varphi\theta}^{(kH)}}{\partial \varphi} + \frac{\partial \varepsilon_{\theta\theta}^{(kH)}}{\partial \theta} \right) = 0
\end{cases} \quad (17)$$

где $k = 1, 2, 3$ (1 – внешняя оболочка, 2 – пироуглеродный слой, 3 – топливный керн),

$$\begin{aligned}
\lambda^{(k)} &= \frac{\nu^{(k)} E^{(k)}}{(1 + \nu^{(k)})(1 - 2\nu^{(k)})}, & \mu^{(k)} &= \frac{E^{(k)}}{2(1 + \nu^{(k)})}, & \Theta^{(k)} &= \varepsilon_{rr}^{(k)} + \varepsilon_{\varphi\varphi}^{(k)} + \varepsilon_{\theta\theta}^{(k)} = \frac{\partial u_r^{(k)}}{\partial r} + \frac{2u_r^{(k)}}{r} + \frac{1}{r} \frac{\partial u_\varphi^{(k)}}{\partial \varphi} + \\
&+ \frac{u_\varphi^{(k)}}{r} \operatorname{ctg}(\varphi) + \frac{1}{r \sin(\varphi)} \frac{\partial u_\theta^{(k)}}{\partial \theta}, & \Theta^{(kH)} &= \varepsilon_{rr}^{(kH)} + \varepsilon_{\varphi\varphi}^{(kH)} + \varepsilon_{\theta\theta}^{(kH)}, & \varepsilon_{rr}^{(kH)} &= \alpha^{(k)} T^{(k)}, & \varepsilon_{\varphi\varphi}^{(kH)} &= \alpha^{(k)} T^{(k)}, \\
\varepsilon_{\theta\theta}^{(kH)} &= \alpha^{(k)} T^{(k)}, \Delta = \nabla^2 = \frac{1}{r} \frac{\partial}{\partial r} r^2 \frac{\partial}{\partial r} + \frac{1}{r^2 \sin(\varphi)} \frac{\partial}{\partial \varphi} \sin(\varphi) \frac{\partial}{\partial \varphi} + \frac{1}{r^2 \sin^2(\varphi)} \frac{\partial^2}{\partial \theta^2} = \frac{\partial^2}{\partial r^2} + \frac{1}{r} \frac{\partial^2}{\partial \varphi^2} + \\
&+ \frac{1}{r^2 \sin^2(\varphi)} \frac{\partial^2}{\partial \theta^2} + \frac{1}{r} \left(2 \frac{\partial}{\partial r} + \frac{\operatorname{ctg}(\varphi)}{r} \frac{\partial}{\partial \varphi} \right), \alpha^{(k)} - \text{коэффициент теплопроводности материала.}
\end{aligned}$$

Температурные поля в сферическом тепловыделяющем элементе можно задать либо в виде некоторой функции, установленной эмпирическим путем, либо путем решения задачи теплопроводности для трехслойной сферы с внутренними источниками тепловыделения. В последнем случае температурное поле сферического гвзла будет описываться тремя уравнениями теплопроводности:

$$\begin{cases}
\frac{\partial T^1}{\partial t} = \alpha_1 \Delta T^1 \\
\frac{\partial T^2}{\partial t} = \alpha_2 \Delta T^2 \\
\frac{\partial T^3}{\partial t} = \alpha_3 \Delta T^3 + q(r, \varphi, \theta)
\end{cases} \quad (18)$$

где $\alpha_1, \alpha_2, \alpha_3$ – коэффициенты температуропроводности материалов, $q(r, \varphi, \theta)$ – объемное тепловыделение.

Данные уравнения теплопроводности дополняются условиями равенства температур и тепловых потоков на границах слоев и граничными условиями 3-го рода на поверхности внешней оболочки и охлаждающей среды.

В такой постановке термомеханическую задачу можно решить аналитически, как это показано в работе [3]. Однако, если учитывать деформации ползучести, радиационного набухания или мгновенные пластические деформации, то ее решение в аналитическом виде не представляется возможным ввиду нелинейности уравнений (17). Решение подобного рода задач возможно только с помощью численных методов. Для численного решения наиболее подходящими являются методы релаксации и расщепления с несогласованным стабилизирующим оператором [4].

Для дальнейшего решения будет более удобна несколько другая форма записи уравнений (17):

$$\left\{ \begin{array}{l} \frac{\partial u_r^{2(\kappa)}}{\partial r^2} + \frac{1}{r^2} \frac{\partial u_r^{2(\kappa)}}{\partial \varphi^2} + \left(\frac{1}{r^2 \sin^2(\varphi)} + \frac{1 + \lambda^{(\kappa)} / \mu^{(\kappa)}}{r \sin(\varphi)} \right) \frac{\partial u_r^{2(\kappa)}}{\partial \theta^2} + F_1^{(\kappa)}(r, \varphi, \theta) = 0 \\ \frac{\partial u_\varphi^{2(\kappa)}}{\partial r^2} + \frac{1}{r^2} \frac{\partial u_\varphi^{2(\kappa)}}{\partial \varphi^2} + \left(\frac{1}{r^2 \sin^2(\varphi)} + \frac{1 + \lambda^{(\kappa)} / \mu^{(\kappa)}}{r \sin(\varphi)} \right) \frac{\partial u_\varphi^{2(\kappa)}}{\partial \theta^2} + F_2^{(\kappa)}(r, \varphi, \theta) = 0 \\ \frac{\partial u_\theta^{2(\kappa)}}{\partial r^2} + \frac{1}{r^2} \frac{\partial u_\theta^{2(\kappa)}}{\partial \varphi^2} + \left(\frac{1}{r^2 \sin^2(\varphi)} + \frac{1 + \lambda^{(\kappa)} / \mu^{(\kappa)}}{r \sin(\varphi)} \right) \frac{\partial u_\theta^{2(\kappa)}}{\partial \theta^2} + F_3^{(\kappa)}(r, \varphi, \theta) = 0 \end{array} \right. \quad (19)$$

$$\text{где } F_1^{(k)} = \left(1 + \lambda^{(\kappa)} / \mu^{(\kappa)} \right) \left(\frac{\partial \Theta^{(\kappa)}}{\partial r} - \frac{\partial^2 u_r^{(\kappa)}}{\partial r^2} \right) + \frac{4}{r} \frac{\partial u_r^{(\kappa)}}{\partial r} + \frac{ctg(\varphi)}{r^2} \frac{\partial u_r^{(\kappa)}}{\partial \varphi} - \frac{u_r^{(\kappa)}}{r^2} - \frac{2}{r} \Theta^{(\kappa)} - \lambda^{(\kappa)} / \mu^{(\kappa)} \frac{\partial \Theta^{(\kappa)}}{\partial r} -$$

$$2 \left(\frac{\partial \varepsilon_{rr}^{(\kappa H)}}{\partial r} + \frac{\partial \varepsilon_{r\varphi}^{(\kappa H)}}{\partial \varphi} + \frac{\partial \varepsilon_{r\theta}^{(\kappa H)}}{\partial \theta} \right),$$

$$F_2^{(k)} = \left(1 + \lambda^{(\kappa)} / \mu^{(\kappa)} \right) \left(\frac{\partial \Theta^{(\kappa)}}{\partial r} - \frac{1}{r} \frac{\partial^2 u_\varphi^{(\kappa)}}{\partial \varphi^2} \right) + \frac{2}{r} \frac{\partial u_\varphi^{(\kappa)}}{\partial r} + \frac{ctg(\varphi)}{r^2} \frac{\partial u_\varphi^{(\kappa)}}{\partial \varphi} -$$

$$- \lambda^{(\kappa)} / \mu^{(\kappa)} \frac{\partial \Theta^{(\kappa)}}{\partial r} - 2 \left(\frac{\partial \varepsilon_{r\varphi}^{(\kappa H)}}{\partial r} + \frac{\partial \varepsilon_{\varphi\varphi}^{(\kappa H)}}{\partial \varphi} + \frac{\partial \varepsilon_{\varphi\theta}^{(\kappa H)}}{\partial \theta} \right),$$

$$F_3^{(k)} = \left(1 + \lambda^{(\kappa)} / \mu^{(\kappa)} \right) \left(\frac{\partial \Theta^{(\kappa)}}{\partial r} - \frac{1}{r \sin(\varphi)} \frac{\partial^2 u_\theta^{(\kappa)}}{\partial \theta^2} \right) + \frac{2}{r} \frac{\partial u_\theta^{(\kappa)}}{\partial r} +$$

$$+ \frac{ctg(\varphi)}{r^2} \frac{\partial u_\theta^{(\kappa)}}{\partial \varphi} - \frac{u_\theta^{(\kappa)}}{r^2 \sin^2(\varphi)} \frac{2}{r^2 \sin(\varphi)} \frac{\partial u_r^{(\kappa)}}{\partial \varphi} - \frac{2 \cos(\varphi)}{r^2 \sin^2(\varphi)} \frac{\partial u_\varphi^{(\kappa)}}{\partial \theta} - \lambda^{(\kappa)} / \mu^{(\kappa)} \frac{\partial \Theta^{(\kappa)}}{\partial r} - 2 \left(\frac{\partial \varepsilon_{r\theta}^{(\kappa H)}}{\partial r} + \frac{\partial \varepsilon_{\varphi\theta}^{(\kappa H)}}{\partial \varphi} + \right.$$

$$\left. + \frac{\partial \varepsilon_{\theta\theta}^{(\kappa H)}}{\partial \theta} \right).$$

Построим разностные соотношения для системы уравнений (19). Вторые производные по пространственным координатам аппроксимируем разностными выражениями, воспользовавшись следующими разностными операторами:

$$\Lambda_r A_{nms} = \frac{A_{n+1ms} - 2A_{nms} + A_{n-1ms}}{h_r^2}$$

$$\Lambda_\varphi A_{nms} = \frac{A_{nm+1s} - 2A_{nms} + A_{nm-1s}}{h_\varphi^2}$$

$$\Lambda_\theta A_{nms} = \frac{A_{nms+1} - 2A_{nms} + A_{nms-1}}{h_\theta^2} \quad (20)$$

где $n = 1, 2, \dots, N$; $m = 1, 2, \dots, M$; $s = 1, 2, \dots, S$.

Очевидно, что

$$\begin{aligned}
\Lambda_r A_{nms} &= \frac{\partial^2 A(r_n, \varphi_m, \theta_s)}{\partial r^2} + O(h_r^2) \\
\Lambda_\varphi A_{nms} &= \frac{\partial^2 A(r_n, \varphi_m, \theta_s)}{\partial \varphi^2} + O(h_\varphi^2) \\
\Lambda_\theta A_{nms} &= \frac{\partial^2 A(r_n, \varphi_m, \theta_s)}{\partial \theta^2} + O(h_\theta^2)
\end{aligned} \tag{21}$$

Для смешанных производных второго порядка соответственно имеем:

$$\begin{aligned}
\frac{\partial^2 A(r, \varphi, \theta)}{\partial r \partial \varphi} &= \frac{A_{n+1m+1s} - A_{nm+1s} - A_{n+1ms} + A_{nms}}{h_r h_\varphi} \\
\frac{\partial^2 A(r, \varphi, \theta)}{\partial r \partial \theta} &= \frac{A_{n+1ms+1} - A_{nms+1} - A_{n+1ms} + A_{nms}}{h_r h_\theta} \\
\frac{\partial^2 A(r, \varphi, \theta)}{\partial \varphi \partial \theta} &= \frac{A_{nm+1s+1} - A_{nms+1} - A_{nm+1s} + A_{nms}}{h_\varphi h_\theta}
\end{aligned} \tag{22}$$

Производных первого порядка аппроксимируются «левой» разностной схемой.

Слагаемые $F_1^{(*k)}, F_2^{(*k)}, F_3^{(*k)}$ соответствуют $F_1^{(k)}, F_2^{(k)}, F_3^{(k)}$, в которых производные заменены на разностные выражения соответствующего порядка.

В итоге получает разностную схему:

$$\left\{ \begin{aligned}
&\left(\Lambda_r^{(k)} + \frac{1}{r_n^2} \Lambda_\varphi^{(k)} + \left(\frac{1}{r_n^2 \sin^2(\varphi_m)} + \frac{1 + \lambda^{(k)} / \mu^{(k)}}{r_n \sin(\varphi_m)} \right) \Lambda_\theta^{(k)} \right) u_r^{(k)} + F_1^{(*k)}(r_n, \varphi_m, \theta_s) = 0 \\
&\left(\Lambda_r^{(k)} + \frac{1}{r_n^2} \Lambda_\varphi^{(k)} + \left(\frac{1}{r_n^2 \sin^2(\varphi_m)} + \frac{1 + \lambda^{(k)} / \mu^{(k)}}{r_n \sin(\varphi_m)} \right) \Lambda_\theta^{(k)} \right) u_\varphi^{(k)} + F_2^{(*k)}(r_n, \varphi_m, \theta_s) = 0 \\
&\left(\Lambda_r^{(k)} + \frac{1}{r_n^2} \Lambda_\varphi^{(k)} + \left(\frac{1}{r_n^2 \sin^2(\varphi_m)} + \frac{1 + \lambda^{(k)} / \mu^{(k)}}{r_n \sin(\varphi_m)} \right) \Lambda_\theta^{(k)} \right) u_\theta^{(k)} + F_3^{(*k)}(r_n, \varphi_m, \theta_s) = 0
\end{aligned} \right. \tag{23}$$

Граничные условия задаются равенством значений и производных на границе слоев. Если их записать, то получаем замкнутую систему уравнений. Эти уравнения нелинейные и поэтому для их решения применим итерационный процесс, на каждом этапе которого нелинейные члены вычисляются по значениям переменных, найденным на предыдущем шаге. Использую метод факторизации и введя промежуточные сеточные функции решение трехмерной задачи распадается на 3 этапа. На первом этапе одномерная задача решается по одной из переменных, на втором – по другой переменной и, соответственно, на третьем – по третьей переменной.

Перепишем уравнения системы (23) как гиперболические. Причем итерации по переменной времени будем продолжать до выхода решения полученной системы на стационарный режим. Построим экономичную факторизованную схему $\Lambda = \Lambda_r + \Lambda_\varphi + \Lambda_\theta$, $B = I + \beta h_\tau^2 \Lambda = I + \beta h_\tau^2 (\Lambda_r + \Lambda_\varphi + \Lambda_\theta)$. Заменяем оператор B факторизованным оператором $\bar{B} = (I + \beta h_\tau^2 \Lambda_r)(I + \beta h_\tau^2 \Lambda_\varphi)(I + \beta h_\tau^2 \Lambda_\theta)$, где I – единичный оператор. Полученная неявная схема

будет устойчивой при значениях параметра $\beta \geq \frac{1}{2} - \frac{1}{h_\tau^2 \|\Lambda\|}$.

Таким образом, получаем 3 системы уравнений:

$$\begin{cases} (I - \beta h_\tau^2 \Lambda_r^{(\kappa)}) u_r^{(n+1/2, \kappa)} + \overline{F}_1^{*\kappa}(r_n, \varphi_m, \theta_s) = 0 \\ (I - \beta h_\tau^2 \Lambda_r^{(\kappa)}) u_r^{(n+1/2, \kappa)} + \overline{F}_2^{*\kappa}(r_n, \varphi_m, \theta_s) = 0 \\ (I - \beta h_\tau^2 \Lambda_r^{(\kappa)}) u_r^{(n+1/2, \kappa)} + \overline{F}_3^{*\kappa}(r_n, \varphi_m, \theta_s) = 0 \end{cases} \quad (24)$$

$$\begin{cases} \left(I - \frac{\beta h_\tau^2 \Lambda_\varphi^{(\kappa)}}{r_n^2} \right) u_\varphi^{(n+1/2, \kappa)} + \overline{F}_1^{(*\kappa)}(r_n, \varphi_m, \theta_s) = 0 \\ \left(I - \frac{\beta h_\tau^2 \Lambda_\varphi^{(\kappa)}}{r_n^2} \right) u_\varphi^{(n+1/2, \kappa)} + \overline{F}_2^{(*\kappa)}(r_n, \varphi_m, \theta_s) = 0 \\ \left(I - \frac{\beta h_\tau^2 \Lambda_\varphi^{(\kappa)}}{r_n^2} \right) u_\varphi^{(n+1/2, \kappa)} + \overline{F}_3^{(*\kappa)}(r_n, \varphi_m, \theta_s) = 0 \end{cases} \quad (25)$$

$$\begin{cases} \left(I - \left(\frac{1}{r_n^2 \sin^2(\varphi_m)} + \frac{1 + \lambda^{(\kappa)}}{r_n \sin(\varphi_m)} \frac{\mu^{(\kappa)}}{\mu^{(\kappa)}} \right) \beta h_\tau^2 \Lambda_\theta^{(\kappa)} \right) u_\theta^{(n+1, \kappa)} + \overline{F}_1^{(*\kappa)}(r_n, \varphi_m, \theta_s) = 0 \\ \left(I - \left(\frac{1}{r_n^2 \sin^2(\varphi_m)} + \frac{1 + \lambda^{(\kappa)}}{r_n \sin(\varphi_m)} \frac{\mu^{(\kappa)}}{\mu^{(\kappa)}} \right) \beta h_\tau^2 \Lambda_\theta^{(\kappa)} \right) u_\theta^{(n+1, \kappa)} + \overline{F}_2^{(*\kappa)}(r_n, \varphi_m, \theta_s) = 0 \\ \left(I - \left(\frac{1}{r_n^2 \sin^2(\varphi_m)} + \frac{1 + \lambda^{(\kappa)}}{r_n \sin(\varphi_m)} \frac{\mu^{(\kappa)}}{\mu^{(\kappa)}} \right) \beta h_\tau^2 \Lambda_\theta^{(\kappa)} \right) u_\theta^{(n+1, \kappa)} + \overline{F}_3^{(*\kappa)}(r_n, \varphi_m, \theta_s) = 0 \end{cases} \quad (26)$$

Значения $\overline{F}_1^{(*\kappa)}, \overline{F}_2^{(*\kappa)}, \overline{F}_3^{(*\kappa)}$ вытекают из сопоставления (24) и (23).

Как видим, задача свелась к решению локально одномерных краевых задач. Решение данной системы может быть построено по методу прогонки. Подобные схемы расчета ранее были использованы в [5] при решении динамических задач для оболочек.

Резюме

Приводится вывод системы уравнений напряженно-деформированного состояния с учетом обратимых и не обратимых деформаций в сферической системе координат. В качестве примера приводится численная схема расчета термоупругого задачи для сферического тепловыделяющего элемента.

Литература

1. Куликов И.С., Прочность элементов конструкций при облучении /И.С. Куликов, В. Б. Нестеренко, Б.Е. Тверковкин.– Минск: Наука и техника, 1990.– 144с.
2. Готман А.Ш. Тензорное исчисление: учеб. Пособие/ А.Ш. Готман.–Новосибирск: Изд-во Новосибирской гос. акад. вод.трансп. , 2007.– 129 с.
3. Гурьянов Н.Г. Краевые задачи теории упругости для шара и цилиндра / Н.Г. Гурьянов, О.Н. Тюленева – Казань: Изд-во Казанского университета, 2008. – 207 с.
4. Петрусёв А.С. Разностные схемы и их анализ / А.С. Петрусёв– Москва: Изд-во МФТИ, 2004. – 89 с.
5. Вольмир А.С. Оболочки в потоке жидкости и газа/ А.С. Вольмир– Москва: Изд-во «Наука», 1976. – 416 с.

Summary

The deduction of the equations of the stress-strain state with reversible and irreversible deformations in spherical coordinates is presented. As an example, the numerical scheme for the calculation of the thermoelastic problem for a spherical fuel element is given.

Поступила в редакцию 10.12.2012